



سنجش از دور

و GIS ایران



سنجش از دور و GIS ایران سال ششم، شماره یکم، بهار ۱۳۹۳
Vol.6, No.1, Spring 2014 Iranian Remote Sensing & GIS

۱-۱۶

ارزیابی دقیق شاخص NDSI استخراج شده از تصاویر MODIS در مناطق دارای شبب متوسط

مینا شمس^۱، محمد رضا مبارشی^{*۲}، سید باقر فاطمی^۳

۱. دانشجوی کارشناسی ارشد گروه فتوگرامتری و سنجش از دور، دانشگاه صنعتی خواجه نصیرالدین طوسی

۲. دانشیار گروه فتوگرامتری و سنجش از دور، دانشگاه صنعتی خواجه نصیرالدین طوسی

۳. دانشجوی دکترا گروه فتوگرامتری و سنجش از دور، دانشگاه صنعتی خواجه نصیرالدین طوسی

تاریخ پذیرش مقاله: ۱۳۹۲/۱۱/۱۶

تاریخ دریافت مقاله: ۱۳۹۰/۰۳/۲۱

چکیده

سطح برفی در طول زمان تغییرات زیادی می‌یابند و در نتیجه برای پایش آنها به استفاده از تصاویری با قدرت تفکیک زمانی نسبتاً بالا نیاز است. برای این منظور، سنجنده MODIS مستقر روی ماهواره‌های Terra/Aqua مناسب به نظر می‌رسد. پارامترهای گوناگونی بر دقت برآورد سطح پوشش برف (SCS) تأثیر می‌گذارند که تپوگرافی سطح (شبب و جهت شبب) یکی از آنهاست. قدرت تفکیک مکانی پایین تصاویر MODIS و وجود پیکسل‌های مختلف، دقت برآورد SCS با استفاده از این تصاویر را کم می‌کند. در پژوهش حاضر، نتایج تصاویر MODIS، از طریق مقایسه با تصاویر دارای قدرت تفکیک مکانی متوسط مانند ASTER واقع بر سکوهای مشابه حاصل از تصاویر MODIS، ارزیابی می‌شود. در این پژوهش شاخص NDSI برگرفته از MODIS و ASTER در مناطقی با شبب ۲۰ تا ۵۰ درصد مقایسه گردید و دو مدل MODMASTER و MODFASTER برای بهبود دقت تخمین SCS به وسیله MODIS ایجاد شد. نتایج به دست آمده از MODMASTER، نشانگر پارامتر همبستگی (R^2) با شاخص برف مشابه MODIS به میزان تقریباً ۷۶ درصد و RMSE در حدود ۰/۰۴۷ است. در مدل MODFASTER، که برای تخمین کسر پوشش برف در هر پیکسل ایجاد شده، پارامتر همبستگی (R^2) در حدود ۷۵ درصد و RMSE در حدود ۰/۰۹ در مقایسه با کسر پوشش برف محاسبه شده به وسیله ASTER است. مقایسه نتایج حاصل از این پژوهش با مقادیر به دست آمده از سایر پژوهش‌ها نشان‌دهنده بهبود در برآورد سطح پوشیده شده از برف است.

کلیدواژه‌ها: ASTER، برف‌سنجی، شاخص NDSI

* نویسنده مکاتبه‌کننده: تهران، خیابان ولی‌عصر، تقاطع میرداماد، دانشگاه صنعتی خواجه نصیرالدین طوسی، دانشکده مهندسی نقشه‌برداری، گروه سنجش از دور و فتوگرامتری،
تلفن: ۰۹۱۲۱۲۲۶۳۰

۱- مقدمه

Robinson et al., 1993; Rango et al., 2000 (Salomonson et al., 2004). از دهه ۱۹۷۰ بررسی پوشش برف با استفاده از تصاویر ماهواره‌ای رایج شد (Dadashi Khanaghah, 2008). پیشرفت‌های اخیر در فناوری و تعدد ماهواره‌ها، استفاده از داده‌های ماهواره‌ای را برای بررسی پوشش برف ضروری ساخته است (Sirguey et al., 2009; König et al., 2001; Hall et al., 2002; Dozier et al., 2004) (Dozier et al., 1989; Kelly et al., 2003; Shi et al., 1994).

در سال ۱۹۷۸، کیل و همکاران از نسبت بازتابندگی باند مرئی به فروسرخ نزدیک برای شناسایی سطوح برفی استفاده کردند. سازمان فضایی ایالات متحده امریکا این نسبت را برای داده‌های سنجنده MODIS و با نام شاخص برف^۱ NDSI معرفی کرد. به طور کلی این تکنیک اساس شناسایی برف و یخ در تصاویر ماهواره‌ای است.

برمبانای این واقعیت که برف دارای بازتابندگی بالا در ناحیه مرئی و بازتابندگی پایین در فروسرخ میانی است (Nolin et al., 2000) برای تشخیص برف از ابر و مناطق فاقد برف از NDSI استفاده می‌شود. NDSI شاخصی بهنگار است که از نسبت اختلاف بازتابندگی مرئی ρ_4 (باند ۴ سنجنده MODIS) و فروسرخ میانی ρ_6 (باند ۶ سنجنده MODIS) تقسیم بر مجموع بازتابندگی در این دو باند بهدست می‌آید.

رابطه (۱)

$$\text{NDSI}_{\text{MODIS}} = \frac{\rho_4 - \rho_6}{\rho_4 + \rho_6}$$

NDSI در مناطق با پوشش‌های مختلف دارای مقادیری بین ۱ و ۱+ خواهد بود. حد آستانه پذیرفته شده برای تشخیص برف به وسیله این شاخص،

1. Normalized Difference Snow Index

پوشش برف و تغییرات زمانی آن، پارامترهایی اساسی در مطالعات هیدرولوژیکی و اقلیم‌شناسی در مناطق با عرض جغرافیایی بالا و متوسط به شمار می‌آیند (Zhang et al., 2010). در مناطق گستره‌ای از جهان پوشش برف و یخ و رواناب حاصل از ذوب آنها، منابع تولید آب برای مصارف شهری، کشاورزی و صنعتی، قلمداد می‌شوند (Xiao et al., 2001). افزون بر این، ذوب برف می‌تواند خسارت‌های فراوانی به بار آورد. بنابراین داشتن اطلاعات درباره سطوح پوشیده از برف به عملکرد بهتر در مدیریت منابع آب، پیش‌بینی و مدیریت بحران می‌انجامد (Dadashi Khanaghah, 2008).

اندازه‌گیری‌های زمینی برف به وسیله ایستگاه‌های هواشناسی، به دلیل محدودیت تعداد ایستگاه‌ها و ماهیت نقطه‌ای بودن اندازه‌گیری‌های آنها، برای بررسی پدیده پیوسته‌ای مانند برف چندان مناسب نیستند. دیگر اینکه اکثر ایستگاه‌ها در مناطق کوهپایه و در دسترس قرار دارند، در حالی که قسمت اعظم پوشش برف در ارتفاعات و نقاط صعب‌العبور است (Taghavi Kish, 2002).

ماهواره‌ها، ابزاری قوی برای بررسی مناطق غیرقابل دسترس به شمار می‌آیند. پوشش سطح وسیعی از زمین به وسیله هر تصویر ماهواره‌ای و قابلیت تصویربرداری مجدد از یک منطقه به وسیله سنجنده‌ها (قدرت تفکیک زمانی)، داده‌های ماهواره‌ای را برای بررسی پدیده‌های متغیر مانند برف مناسب می‌سازد (Jelokhani Niaraki, 2005).

برای نخستین بار در سال ۱۹۶۰ با استفاده از ماهواره TIROS-1 سنجش شد (Matkan, 2002). از سال ۱۹۶۶ که نخستین نقشه‌های برف به صورت کاربردی به وسیله NOAA تهیه شد، استفاده از سنجنده‌ها در انجام مطالعات جهانی و روزانه برای بررسی تغییرات زمانی و مکانی پوشش برف پیشرفت‌های زیادی کرده است (Frei et al., 1998).

الگوریتم خود استفاده کرده است. مبادری و همکارانش (۲۰۱۱) رفتار شاخص NDSI در مناطق مسطح و با شب پایین (کمتر از ۲۰ درصد) را بررسی کردند. با توجه به قدرت تفکیک مکانی پایین سنجنده MODIS و مشکل پیکسل‌های مختلط و همچنین دسترسی نداشتن به داده‌های زمینی، در این تحقیق ضمن استخراج سطح زیر پوشش برف برای مناطق با شب نسبتاً بالا (۲۰ تا ۵ درصد) و بررسی تأثیر شرایط توپوگرافی روی مقادیر شاخص، نتایج حاصل از این سنجنده با استفاده از تصاویر همزمان ASTER با قدرت تفکیک مکانی متوسط مقایسه و ارزیابی می‌شوند. در پایان، مدلی ساده برای بهبود نتایج سنجنده MODIS با درنظر گرفتن پارامتر هندسه سطح (شب) تهیه می‌شود.

۲- مواد و روش‌ها

مراحل انجام تحقیق شامل تعیین مناطق مورد مطالعه و تهیه داده‌های مورد نیاز، آماده‌سازی داده‌ها، اعمال شاخص تفاضل نرمال شده برف روی تصاویر، بررسی و مقایسه نتایج حاصل، ارائه مدل و درنهایت ارزیابی مدل است. این مراحل در شکل ۱ نشان داده شده‌اند.

۱-۱- منطقه مطالعه شده

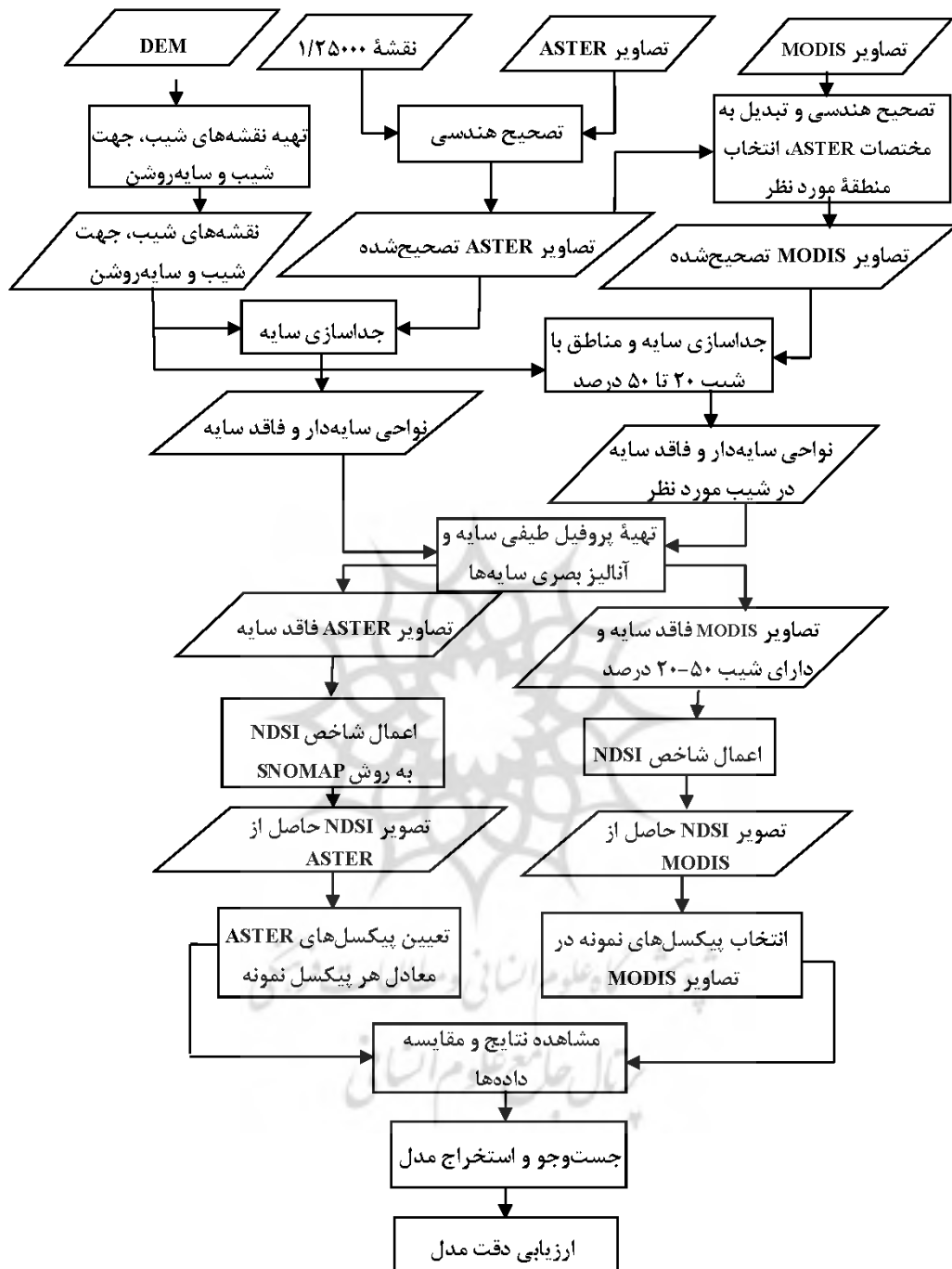
مناطق مطالعه شده در این پژوهش شهرهای سوریان، کرندغرب و سردشت اند و تصاویر مربوط به شهرهای سوریان و کرندغرب یک‌جا و تصویر سردشت جدآگانه بررسی شده است. شهر سوریان مرکز شهرستان بوانات در طول جغرافیایی $36^{\circ}36' E$ و عرض جغرافیایی $30^{\circ}33' N$ شمالی، در شمال شرقی استان فارس قرار دارد. حداقل ارتفاع این منطقه از سطح دریا 1505 متر و حداقل ارتفاع آن (قله کوه ختاؤند یا خاتون) 3362 متر است. این منطقه کوهستانی و سردسیر است و زمستانهای نسبتاً طولانی و سرد و دوره تابستانی کوتاه و خنک دارد. طول مدت یخبندان در این ناحیه به طور متوسط 70 روز است.

1. MODIS User Guid

۰/۴ است (Hall et al., 1995). عوامل متعددی از جمله اندازه و شکل ذرات برف، دما، عمق برف، ناهمواری سطح، زاویه زنیت خورشیدی، و آلودگی بر میزان بازتابندگی برف و درنتیجه مقادیر حاصل از شاخص NDSI تأثیرگذارند (Klein et al., 1998).

NDSI ضمن آنکه اختلاف طیفی برف، ابر و مناطق فاقد برف را نشان می‌دهد، مانند اکثر روش‌های تفاضلی نسبی سبب کاهش تأثیرات جوی و هندسه دید بر مقادیر به دست آمده می‌شود اما آنها را به طور کامل حذف نمی‌کند (Salomonson & Appel, 2004) و همکارانش (۱۹۹۸ و ۲۰۰۲) و کلین و همکارانش (۱۹۹۸) از اختلاف طیفی مناطق برفی و فاقد برف که به وسیله MODIS رؤیت شدنی است، برای ارائه روشی خودکار به منظور مشاهدات جهانی و روزانه برف براساس NDSI استفاده کردند. از روش SNOMAP به صورت خودکار برای تهیه محصولات پوشش برف جهانی استفاده می‌شود. این روش مبتنی بر طبقه‌بندی پیکسل‌ها به صورت باینری (برف و فاقد برف) در تصاویر MODIS افزاون بر شاخص NDSI از معیارهای دیگری نیز برای کاهش خطای تعیین برف در سواحل، دریاچه‌ها و مناطق جنگلی استفاده می‌کند. این معیارها در راهنمای کاربران تصاویر^۱ MODIS در دسترس‌اند (MODIS website).

سرگئی و همکاران (۲۰۰۹)، روشی جامع را برای تهیه نقشه‌های برف فصلی در مناطق کوهستانی با استفاده از محصولات Level-1B سنجنده MODIS پیشنهاد کردند. در این روش، تکنیک جداسازی طیفی خطي برای تخمین کسر برف در سطح زیرپیکسل به کار گرفته شده است. بدین‌منظور از ۸ تصویر همزمان و فاقد ابر MODIS/ASTER (level-1B) استفاده شد و تأثیرات جوی و توپوگرافی سطح در تصاویر با استفاده از مشاهده‌های روزانه پارامترهای جو تصحیح گردید. کرون (۲۰۱۰) تأثیر پارامترهای شب و جهت شب در تخمین برف به وسیله داده‌های MODIS را بررسی کرده و از تصاویر همزمان^۲ LANDSAT-ETM^۳ برای ارزیابی



شکل ۱. روند نمای تحقیق

دریا ۳۸۷ متر و حداقل ارتفاع آن ۲۴۷۰ متر است. طول مدت یخبندان در این ناحیه به طور متوسط ۷۸ روز است. شهر سردشتر در طول جغرافیایی $36^{\circ} ۳۶'$ و عرض جغرافیایی $۳۴^{\circ} ۱۷'$ شمالی در غرب استان کرمانشاه قرار دارد. حداقل ارتفاع این منطقه از سطح

شهر کرند غرب در طول جغرافیایی $۱۴^{\circ} ۴۶'$ شرقی و عرض جغرافیایی $۳۴^{\circ} ۱۷'$ شمالی در غرب استان کرمانشاه قرار دارد. حداقل ارتفاع این منطقه از سطح

ارزیابی دقیق شاخص NDSI استخراج شده از تصاویر MODIS در مناطق دارای شیب متوسط



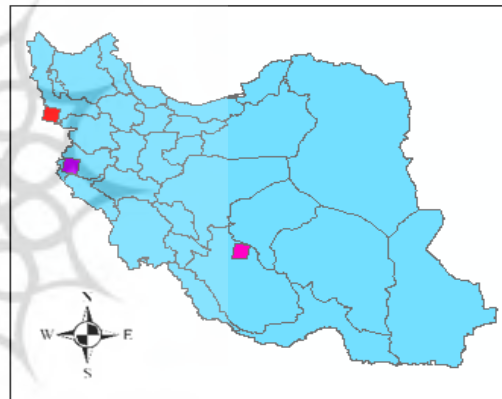
شکل ۳. تصاویر ASTER در مناطق مطالعه شده

- (a) تصویر تاریخ ۲۰۰۲/۰۱/۱۵
(b) تصویر تاریخ ۲۰۰۲/۰۲/۰۳
(c) تصویر تاریخ ۲۰۰۶/۰۴/۱۰

۳-۲- آماده سازی داده ها

ابتدا تصاویر ASTER با استفاده از نقشه ۱/۲۵۰۰۰ زمین مرجع شدند، سپس تصاویر MODIS نسبت به تصاویر ASTER تصحیح هندسی شدند. با استفاده از پارامترهای موجود در فایل Header، میزان بازنگردی

شرقی و عرض جغرافیایی $29^{\circ} 45'$ شمالی در جنوب غربی استان آذربایجان غربی قرار دارد. حداقل ارتفاع این منطقه ۱۵۶۰ متر و حداقل ارتفاع آن ۱۷۸۹ متر است. شهرستان سردشت تحت تأثیر ریزش های هوایی است که از شمال غربی و گاه غرب وارد استان می شوند و بهویژه در زمستان و بهار باعث ریزش های جوی نسبتاً خوبی در این منطقه می گردند. شرایط توپوگرافی شهرستان سردشت باعث می شود که میزان ریزش های جوی حاصل از این توده های هوایی بیش از سایر مناطق استان باشد. طول مدت یخبندان در این منطقه به طور متوسط ۶۶ روز است (شکل ۲). معیار انتخاب این مناطق، وجود نواحی با شیب مورد نظر و دارای پوشش برف است.



شکل ۲. مناطق مطالعه شده

۲-۲- داده های استفاده شده

در پژوهش حاضر از تصاویر MODIS با قدرت تفکیک ۵۰۰ متر مربوط به تاریخ های ۲۰۰۲/۰۱/۱۵ و ۲۰۰۲/۰۲/۰۳ و ۲۰۰۶/۰۴/۱۰ با سطح پردازشی L1B و فرمت HDF، سه فریم تصویر ASTER (با قدرت تفکیک ۳۰ متر) هم زمان با تصاویر MODIS آنها، نقشه های ۱/۲۵۰۰۰ دارای فرمت DGN برای تصحیح هندسی تصاویر ASTER و مدل رقومی ارتفاع ASTER GDEM^۱ به منظور استخراج پارامتر شیب استفاده شده است (شکل ۳).

1. ASTER Global DEM

۴-۲- اعمال شاخص NDSI روی تصاویر
 برای هر پیکسل ۵۰۰ متری MODIS فاقد ابر، سایه و دارای شیب ۲۰ تا ۵۰ درصد مقدار NDSI محاسبه شد.
 به منظور ارزیابی عملکرد شاخص تشخیص برف Hall et al. (SNOMAP) به روش NDSI MODIS مقدار (1995) برای پیکسل‌های تصاویر ASTER محاسبه و با اعمال حد آستانه ۴/۰، پیکسل‌های برفی در تصاویر ASTER تعیین شدند.
 به منظور بررسی تأثیر شیب روی مقادیر شاخص، داده‌ها به سه کلاس شیبی ۳۰-۴۰، ۴۰-۵۰ و ۳۰-۴۰ درصد طبقه‌بندی شدند و عملکرد شاخص در این کلاس‌ها به وسیله دو معیار جدید^۴ MODMASTER و MODFASTER^۵ با استفاده از تصاویر مربوط به تاریخ‌های ۲۰۰۲/۰۱/۱۵، ۲۰۰۲/۰۱/۰۳، ۲۰۰۲/۰۱/۰۶ تعریف شد. برای ارزیابی عملکرد این معیارها، افزون بررسی آنها روی این دو تصویر، نتایج حاصل روی تصویر ۲۰۰۶/۰۴/۱۰ بررسی شد.

۵-۲- معیار MODMASTER

در این مطالعه با توجه به قدرت تفکیک تصاویر، هر پیکسل MODIS معادل ۲۷۷ پیکسل ASTER در نظر گرفته شده است. در این معیار ارزیابی، شاخص میانگین NDSI پیکسل‌های برفی ASTER (دارای NDSI بیشتر از ۰/۴) موجود در هر پیکسل ۵۰۰ متری MODIS با مقدار NDSI مربوط به MODIS این پیکسل مقایسه می‌شود. بدین منظور ابتدا تأثیر شیب‌های مختلف از طریق تقسیم داده‌ها به سه کلاس شیبی ۳۰-۴۰ و ۴۰-۵۰ درصد بررسی و سپس داده‌ها در یک کلاس شیبی کلی (۰-۵۰ درصد) بررسی شد.

-
1. Top-of-the-atmosphere reflectance
 2. Julian Day
 3. Hillshading Map
 4. MODis compared with Mean values of ASTER
 5. MODis compared with Fraction of ASTER

بالای جو^۱ برای تصاویر ASTER در باندهای ۱ و ۴ محاسبه گردید (رابطه ۲).
 رابطه (۲)

$$\rho = \frac{L_\lambda \pi d^r}{ESUN_\lambda \cos \theta_z}$$

L_λ رادیانس در سنجنده ($\text{Wm}^{-1}\text{sr}^{-1}\mu\text{m}^{-1}$)
 $ESUN_\lambda$ میانگین تابش فروندی خورشید در بالای جو در هر باند ($\text{Wm}^{-1}\text{sr}^{-1}\mu\text{m}^{-1}$)
 d فاصله نسبی زمین
 θ_z تا خورشید متناسب با تاریخ عبور ماهواره از محل^۲
 زاویه زیستی خورشیدی بر حسب درجه که به تاریخ و زمان عبور ماهواره از منطقه و طول و عرض جغرافیایی محل بستگی دارد.

از آنجاکه هدف پژوهش حاضر بررسی عملکرد MODIS با درنظر گرفتن مشخصات هندسی زمین (شیب) است، با استفاده از مدل رقومی ارتفاع و به کمک روش میانگین‌گیری، به هر پیکسل ۵۰۰ متری تصاویر MODIS مربوط به تاریخ‌های ۲۰۰۲/۰۱/۱۵، ۲۰۰۲/۰۱/۰۳، ۲۰۰۶/۰۴/۱۰ و ۲۰۰۲/۰۲/۱۰، یک ارتفاع اختصاص داده شد. سپس برای هر پیکسل، شیب و جهت شیب محاسبه گردید و مناطق دارای شیب مورد نظر (۰ تا ۵ درجه)، از تصاویر استخراج شدند.

وجود سایه روی مقادیر حاصل از NDSI تأثیرگذار است. برای به دست آوردن نتایج مطمئن در تخمین برف، لازم است نواحی خارج از سایه و مناطق واقع در آن جدا شوند (Koren, 2010). بدین منظور براساس آزمیوت و ارتفاع خورشید در منطقه و با استفاده از GDEM، نقشه سایه‌روشن^۳ تهیه شد و منطقه به دو گروه سایه و فاقد سایه تفکیک گردید.

وجود پوشش ابر در تصاویر، یکی از مشکلات اساسی برف‌سنگی است. در پژوهش حاضر افزون بر مقادیر شاخص برف برای تعیین پیکسل‌های ابری، از محصولات MOD35 نیز استفاده شد و نمونه‌ها از مناطق فاقد پوشش ابر انتخاب شدند.

ارزیابی دقیق شاخص NDSI استخراج شده از تصاویر MODIS در مناطق دارای شبکه متوسط

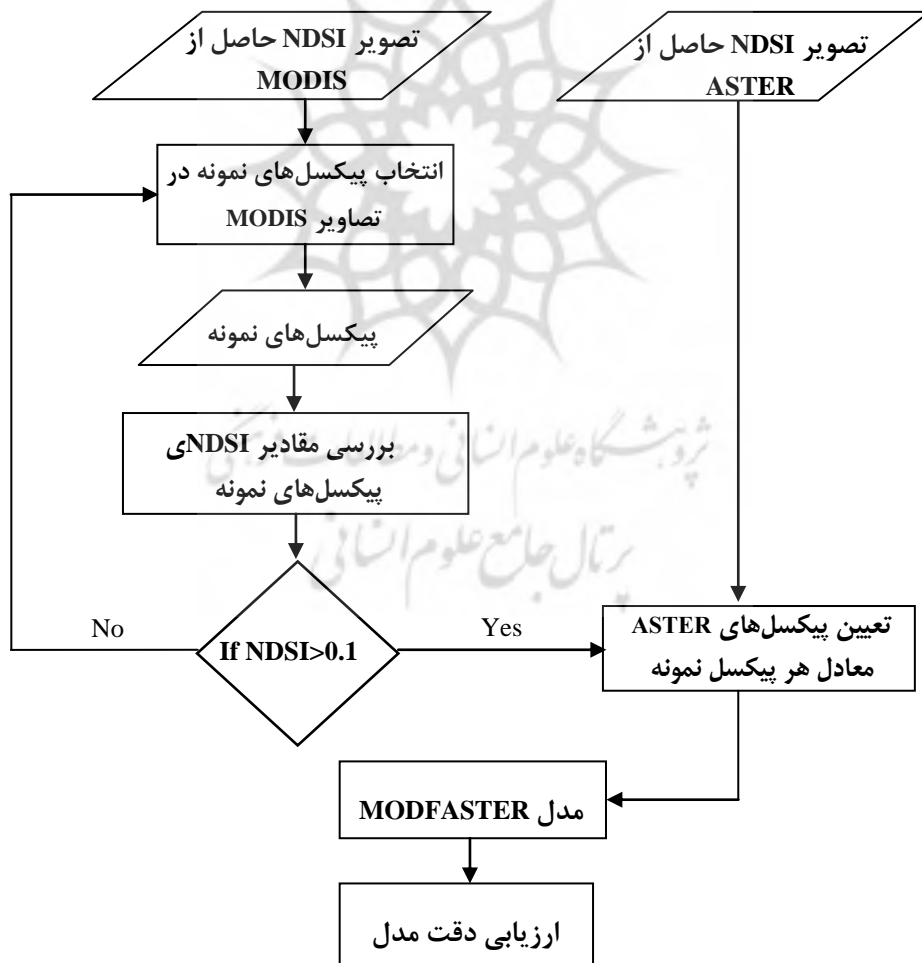
جدول ۱. نتایج بدست آمده از رگرسیون خطی بین NDSI مربوط به MODIS و میانگین NDSI مربوط به ASTER

مدل	R	R Square	Adjusted R Square	Std. Error of the Estimate
MODMASTER	۰/۸۷۱	۰/۷۶	۰/۷۶۲	۰/۰۵۵۰۰

۶-۲- معیار MODMASTER

شاخص NDSI قابلیت طبقه‌بندی پیکسل‌ها به دو کلاس برف و فاقد برف (طبقه‌بندی باینری) را دارد، اما قادر به تعیین مساحت نواحی برفی در هر پیکسل نیست. با استفاده از تصویر ASTER با قدرت تفکیک مکانی بهتر می‌توان تعیین کرد که میزان NDSI حاصل از هر پیکسل ۵۰۰ متری MODIS، معادل چند درصد پوشش برف در آن پیکسل است. مراحل ایجاد این مدل در شکل ۴ آمده است.

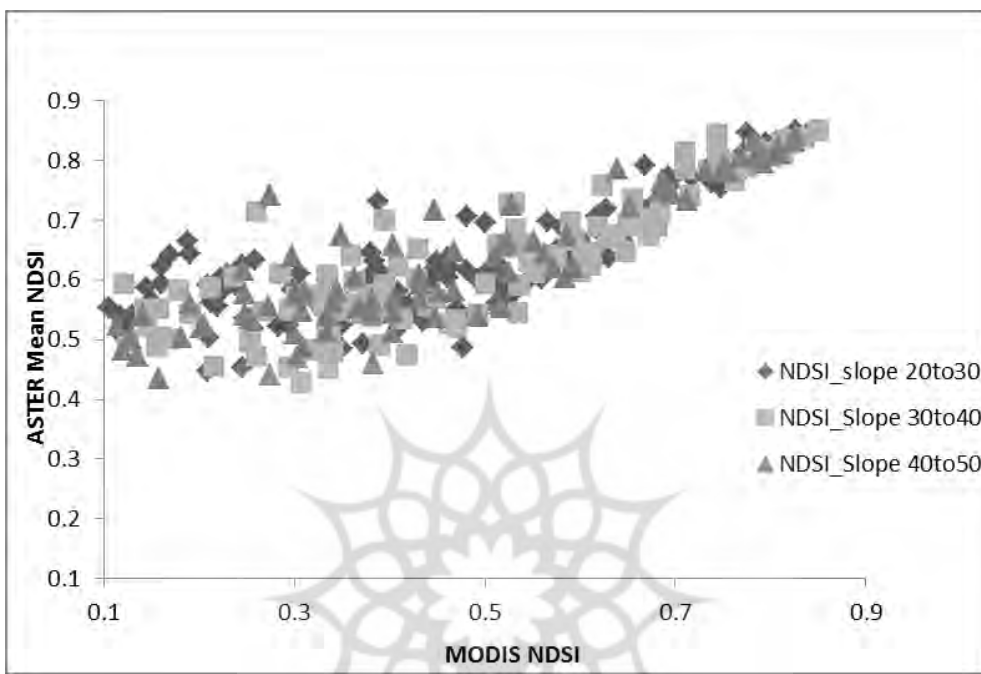
برای مدل‌سازی ارتباط بین NDSI حاصل از (ASTER Mean NDSI) و میانگین NDSI حاصل از (ASTER) در کلاس شبیه ۲۰-۵۰ درصد، از روش رگرسیون استفاده شد. برای این کار، ۲۳۹ نمونه از قسمت‌های مختلف تصویر، شامل مناطق کاملاً پوشیده از برف، نواحی نیمه‌برفی و مرزها انتخاب شدند (جدول ۱).



شکل ۴. مراحل ایجاد مدل MODMASTER

جدول ۲. نتایج بدستآمده از رگرسیون خطی بین کسر پوشش برف و NDSI مربوط به MODIS

مدل	R	R Square	Adjusted R Square	Std. Error of the Estimate
MODFASTER	.۰/۸۶۶	.۰/۷۴۹	.۰/۷۴۹	.۰/۱۲۶۲۸



شکل ۵. مقایسه مقادیر NDSI به دست آمده از MODIS و میانگین ASTER در ۳ کلاس شیبی ۴۰-۵۰، ۳۰-۴۰ و ۲۰-۳۰ درصد

است. ابتدا نمودار پراکنش NDSI حاصل از ASTER میانگین NDSI حاصل از MODIS بر حسب میانگین NDSI حاصل از ASTER رسم گردید (شکل ۵).

همان گونه که در شکل ۵ دیده می‌شود، روند کلی تغییرات برای کلاس‌های شیبی مورد نظر و برای مقادیر متفاوت NDSI در شرایط زمانی و موقعیت جغرافیایی مناطق مطالعه شده مشابه است. بنابراین داده‌ها در حالت کلی و در شیب ۴۰-۵۰ درصد یکجا بررسی شدند و ارتباط بین مقادیر NDSI به دست آمده از MODIS و میانگین مقادیر NDSI به دست آمده از ASTER ارزیابی گردید (شکل ۶).

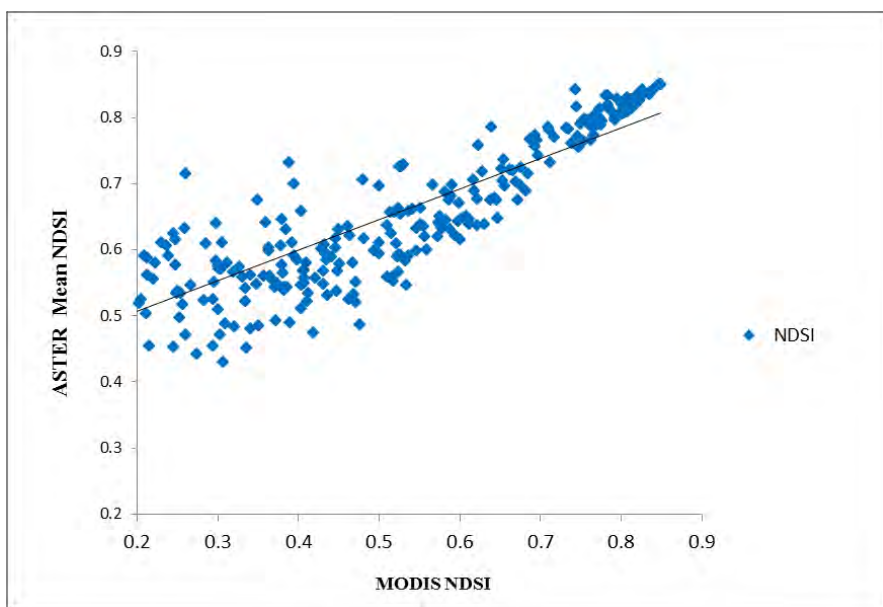
معیار MODFASTER، رابطه بین NDSI حاصل از MODIS و کسر پوشش برف حاصل از ASTER را درون هر پیکسل MODIS نشان می‌دهد. برای هر پیکسل میزان کسر پوشش از طریق تقسیم تعداد پیکسل‌های برفی ASTER به تعداد کل پیکسل‌های ASTER موجود در هر پیکسل ۵۰۰ متری محاسبه می‌شود. در این معیار نیز هر پیکسل MODIS معادل ۲۷۷ پیکسل ASTER در نظر گرفته شده و در آن از روش رگرسیون خطی^۱ برای ایجاد رابطه خطی بین کسر پوشش برف^۲ (FRA) و مشاهدات NDSI استفاده شده است (جدول ۲).

۳- نتایج

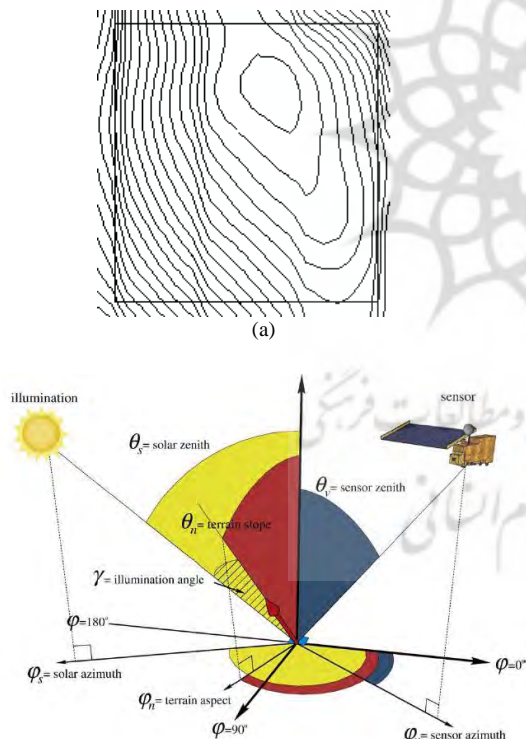
در معیار MODMASTER به منظور ایجاد ارتباط بین NDSI مربوط به MODIS و میانگین NDSI مربوط به

1. Ordinary Least-Squares Regression Approach
2. Snow FRAction

ارزیابی دقیق شاخص NDSI استخراج شده از تصاویر MODIS در مناطق دارای شیب متوسط



شکل ۶ مقایسه شاخص NDSI و میانگین ASTER-NDSI در کلاس شیبی ۵۰-۲۰ درصد



شکل ۷. (a) منحنی میزان پیکسل نمونه، (b) نمای شماتیک موقعیت سنجنده و خورشید نسبت به پیکسل برای ایجاد برق خورشیدی
منبع: برگرفته از Sirguey et al., 2009

همان‌گونه که در شکل ۶ دیده می‌شود، در مقادیر بالای NDSI هر دو مقدار ASTER و MODIS به یک مقدار همگرا می‌شوند (منطقه درون دایره قرمز)، ولی در مقادیر کوچک‌تر NDSI همواره میانگین ASTER از مقادیر MODIS کمتر است (منطقه درون دایره سبز). برخی از نمونه‌های ASTER دارای تغییرات جهش‌گونه‌اند. بررسی مناطق برداشت شده از نظر شیب و جهت شیب، توپوگرافی و موقعیت خورشید نشان داد که احتمالاً در نمونه‌های با مقادیر بالا، تعداد زیادی از پیکسل‌های ASTER دارای شرایط برق خورشیدی (Hotspot) در باند مرئی و درنتیجه اشباع شده هستند، در حالی که در باند جذبی، جذب کماکان به شدت اتفاق افتاده و همین امر سبب افزایش شدید میزان شاخص NDSI شده است. نمونه‌های با مقادیر کم NDSI پیکسل‌های واقع در مناطق مرزی هستند. افزون بر موارد گفته شده، خطای ناشی از تصحیح هندسی نیز از عوامل بروز خطأ به شمار می‌آیند. به عنوان نمونه برای یک پیکسل با مقادیر NDSI بالا، شرایط توپوگرافی (منحنی میزان^۱) رسم شده است (شکل ۷).

1. Contor

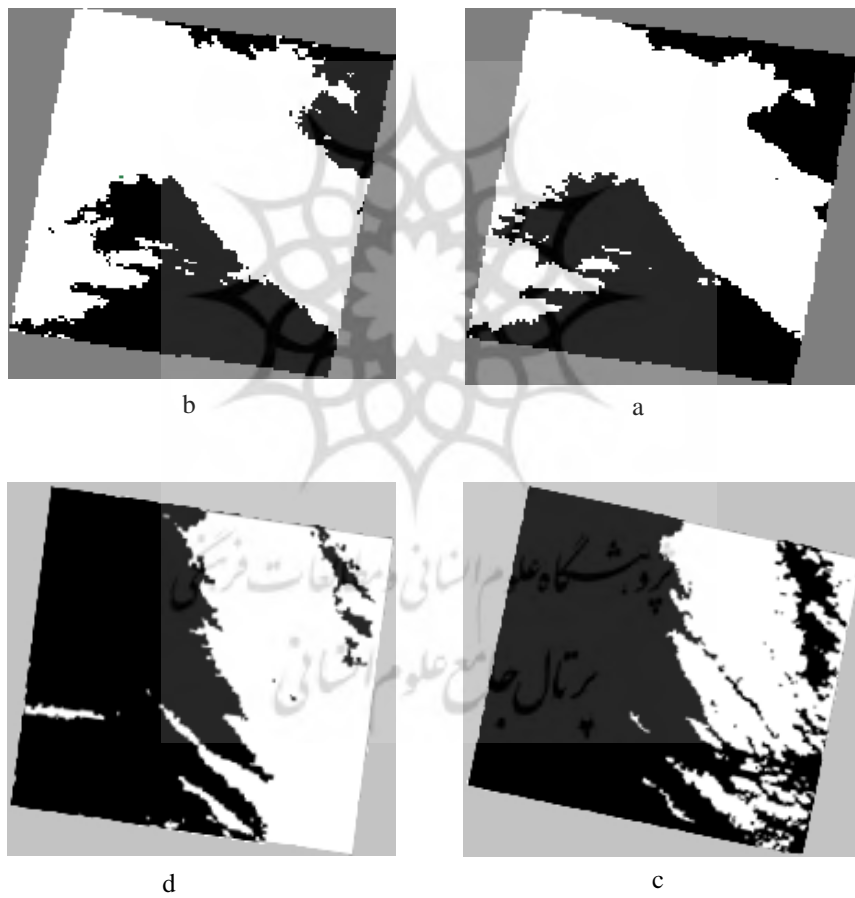
نقشهٔ پوشش برف حاصل از اعمال شاخص NDSI و مدل MODMASTER روی تصاویر MODIS مربوط به مناطق سوریان (تاریخ ۱۵/۰۱/۲۰۰۲) و کرند غرب (تاریخ ۳/۰۲/۰۲۰۲) در شکل ۸ آمده است. در این شکل نواحی سفیدرنگ نشان‌دهنده نواحی برفی و مناطق سیاه‌رنگ نشان‌دهنده نواحی بدون برف است. برای بررسی رابطهٔ بین NDSI مربوط به MODIS و کسر پوشش برف حاصل از ASTER درون هر پیکسل MODIS، نمودار پراکنش این داده‌ها رسم گردید (شکل ۹).

رابطهٔ حاصل از ایجاد رگرسیون بین NDSI حاصل از MODIS و میانگین NDSI حاصل از ASTER در رابطهٔ (۳) نشان داده شده است. میزان R^2 (همبستگی) حاصل از این رابطهٔ ۷۶/۰ است.

رابطهٔ (۳)

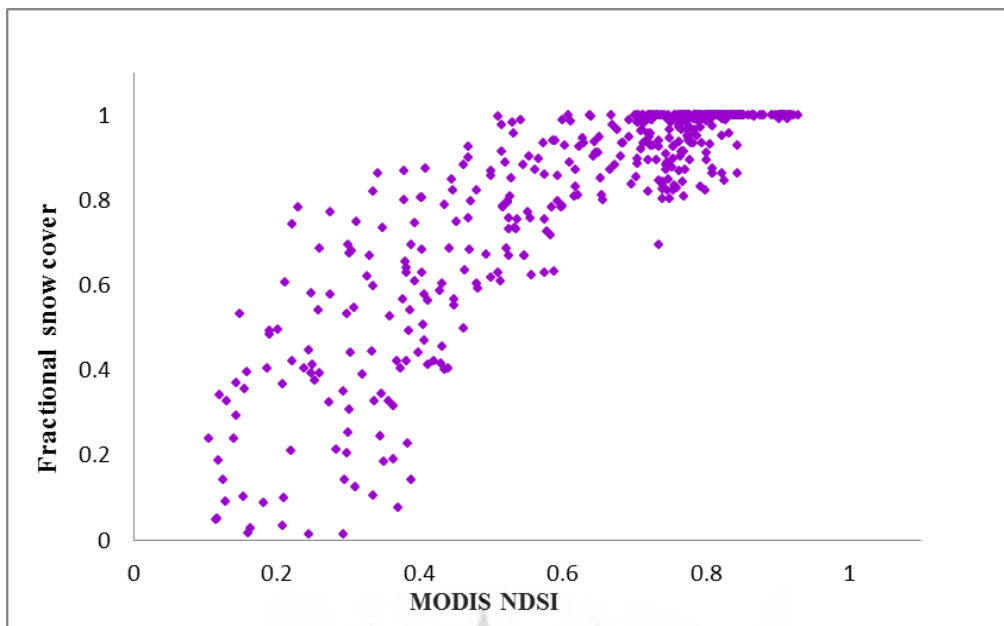
$$NDSI_{\text{model}} = 0.42 \times NDSI_{(\text{MODIS})} + 0.40$$

در این تحقیق برای ارزیابی دقیق مدل‌ها از ریشهٔ مربعات خطای متوسط (RMSE) استفاده شده است. میزان RMSE بین مقادیر NDSI مربوط به ASTER و MODIS برابر ۴/۰۰ است.



شکل ۸. نقشهٔ پوشش برف حاصل از اعمال شاخص NDSI و مدل MODMASTER روی تصاویر MODIS در مناطق مطالعه‌شده، (a) نقشهٔ پوشش برف حاصل از اعمال شاخص NDSI روی تصویر MODIS در تاریخ ۱۵/۰۱/۲۰۰۲، (b) نقشهٔ پوشش برف حاصل از اعمال مدل MODMASTER روی تصویر MODIS در تاریخ ۱۵/۰۱/۲۰۰۲، (c) نقشهٔ پوشش برف حاصل از اعمال شاخص NDSI روی تصویر MODIS در تاریخ ۲۰/۰۲/۲۰۰۲، (d) نقشهٔ پوشش برف حاصل از اعمال مدل MODMASTER روی تصویر MODIS در تاریخ ۲۰/۰۲/۲۰۰۲.

ارزیابی دقیق شاخص NDSI استخراج شده از تصاویر MODIS در مناطق دارای شیب متوسط



شکل ۹. رابطه بین NDSI مربوط به MODIS و کسر پوشش برف حاصل از ASTER

$$\text{MODMASTER} = 1 / \cdot 1 \times \text{NDSI}_{(\text{MODIS})} + \cdot 18$$

$$\text{MODFASTER} = 1 / \cdot 1 \times \text{NDSI}_{(\text{MODIS})} + \cdot 10$$

(رابطه (۴))

همچنین میزان RMSE در مدل MODMASTER برابر 0.09 به دست آمده است. برای ارزیابی بیشتر مدل‌های ارائه شده، این مدل‌ها روی تصویر منطقه دیگری (تصویر $2006/04/10$) آزمون شدند. به‌منظور ارزیابی مدل MODMASTER تعداد 517 نمونه و برای مدل MODFASTER 756 نمونه از نقاط مختلف این تصویر شامل مناطق کاملاً پوشیده از برف، نواحی نیمه‌برفی و مرزها انتخاب شدند، سپس دو مدل روی این نمونه‌ها اعمال گردید. میزان RMSE به‌دست آمده برای دو معیار و در این منطقه در جدول ۳ آمده است.

جدول ۳. نتایج ارزیابی مدل‌ها روی تصویر $2006/04/10$

مدل	RMSE
MODMASTER	0.06
MODFASTER	0.12

همان‌گونه که در شکل ۹ دیده می‌شود، در مقادیر پایین شاخص، پراکندگی داده‌ها زیاد است و MODIS در پیکسل‌های مختلط، توانایی تشخیص جزئیات و ترکیبات پیکسل را ندارد. در نمونه‌هایی با NDSI کوچک‌تر از 0.4 ، که MODIS آنها را به عنوان پیکسل غیربرفی ثبت کرده، کسر پوشش برف حاصل از ASTER مخالف صفر است. یعنی نواحی‌ای از این پیکسل‌ها دارای پوشش برف نیست ولی MODIS نمی‌تواند آنها را تشخیص دهد و ASTER با قدرت تفکیک بهتر و داشتن پیکسل‌های خالص‌تر توانسته است آنها را شناسایی کند. در مقادیر بالای شاخص، به‌ویژه بیشتر از 0.7 ، مقدار FRA به یک می‌رسد و این پیکسل‌ها را کاملاً پوشیده از برف شناسایی می‌کند. این امر بیانگر عملکرد مشابه دو سنجه‌نده و قابلیت اطمینان نتایج حاصل از MODIS در این نمونه‌هاست.

رابطه بین کسر پوشش برف و NDSI مشاهدات MODIS در رابطه (۴) نشان داده شده است. میزان R^2 حاصل در این حالت 0.75 است.

بین NDSI و کسر پوشش برف (FRA) درون هر پیکسل ۵۰۰ متری MODIS را بررسی کردند. آنها از تصاویر Landsat ETM⁺ با قدرت تفکیک مکانی ۳۰ متر به عنوان حقیقت زمینی^۱ استفاده کردند (رابطه‌های ۶ و ۷).

رابطه (۶)

$$FRA = \frac{0.06 + 1/21}{NDSI_{(MODIS)}}$$

رابطه (۷)

$$FRA = -0.01 + 1/45 \times NDSI_{(MODIS)}$$

براتون (۲۰۰۱) با استفاده از شاخص NDSI در تصاویر ۵۰۰ متری MODIS، نقشه پوشش برف را به صورت باینری تهیه کرد و برای تعیین درصد پوشش برف درون هر پیکسل از این نقشه، نتایج حاصل از جداسازی طیفی پیکسل‌های تصویر TM از Landsat را به عنوان حقیقت زمینی به کار گرفت. رابطه (۸) ارتباط بین NDSI حاصل از MODIS و کسر پوشش برف (FRA) را نشان می‌دهد.

رابطه (۸)

$$FRA = 0.18 + 0.37 \times NDSI + 0.26 \times (NDSI)^2$$

نتایج این مقایسه در جدول ۴ آمده است. همان گونه که دیده می‌شود مدل ارائه شده در مقایسه با مدل‌های پیشین دارای مقادیر RMSE بهتری در منطقه مطالعه شده است. عوامل گوناگونی روی دقت برآورد برف تأثیرگذار است؛ از جمله خطاهای موجود در آنالیز داده‌ها؛ نوع مدل انتخاب شده که در اینجا مدلی MODIS خطی است؛ میزان دقت تصحیح هندسی ASTER و خطای اتمسفری؛ حد آستانه‌ای نسبت به ASTER و خطای اتمسفری؛ حد آستانه‌ای که استفاده می‌شود؛ و درنظرنگرفتن بخش‌های مختلف مقادیر شاخص؛ و دسترسی نداشتن به داده‌های زمینی که افزون بر کاهش دقت، امکان ارزیابی دقیق مدل را نیز از بین می‌برد.

1. Ground truth

۴- بحث و نتیجه‌گیری

در این مطالعه، رفتار شاخص NDSI در تصاویر MODIS با درنظر گرفتن پارامتر شبیه بررسی شد. به دلیل پایین بودن قدرت تفکیک مکانی تصاویر MODIS (۵۰۰ متر)، از تصاویر همزمان ASTER با قدرت تفکیک مکانی بهتر (۳۰ متر) برای مقایسه و ارزیابی نتایج حاصل از MODIS استفاده گردید و NDSI حاصل از MODIS در هر پیکسل به وسیله مقدار میانگین پیکسل‌های ASTER منتظر با آن (۲۷۷ پیکسل) مقایسه شد. برای رابطه بین این دو پارامتر در بررسی همزمان داده‌های حاصل از دو منطقه کرد غرب و بوانات، R^2 معادل ۷۶ درصد و خطای RMSE معادل ۴۰/۰ به دست آمد. همچنین کسر مناطق پوشیده شده از برف در هر پیکسل ۵۰۰ متری MODIS در این دو منطقه به صورت یک جا به وسیله ASTER محاسبه و مدل سازی گردید. مدل به دست آمده دارای معیار دقت ۷۵ (RMSE درصد) معادل ۰/۰۹ است.

مبادری (۲۰۱۱) و همکارانش شاخص برف MODIS را با استفاده از تصاویر ASTER در مناطق با شبیه کمتر از ۲۰ درصد بهبود بخشیدند. نتیجه کار آنها به صورت رابطه (۵) است، که با نتایج به دست آمده برای معادله MODMASTER مشابه دارد. این امر بیانگر تأثیر کم پارامتر شبیب روی نتایج شاخص است. با توجه به این موضوع که همواره اثر شبیب در برآورد برف مبهم است، این تحقیق نشان داد که می‌توان فقط نتایج NDSI حاصل از MODIS را از جنبه قدرت تفکیک مکانی در مقایسه با ASTER اصلاح کرد و اثر شبیب‌های متوسط (۲۰ تا ۵۰ درصد) چشمگیر نیست.

رابطه (۵)

$$NDSI(\text{improved}) = 0.6533 \times NDSI_{(ASTER)} + 0.277$$

برای ارزیابی مدل‌های فوق به طور همزمان عملکرد مدل MODFASTER با نتایج کار براتون (۲۰۰۱) و سالمونسان و اپل (۲۰۰۴ و ۲۰۰۶) مقایسه شد. سالمونسان و اپل در سال‌های ۲۰۰۴ و ۲۰۰۶ رابطه

ارزیابی دقت شاخص NDSI استخراج شده از تصاویر MODIS در مناطق دارای شبکه متوسط

جدول ۴. نتایج مقایسه مدل MODFASTER در این مقاله و مدل‌های بارتون و سالمونسان و اپل روی منطقه سردشت

مدل	Reference	RMSE
MODFASTER		.12
$FRA = 0.06 + 1.21 \times NDSI_{(MODIS)}$	Salomonson et al. (2004)	.14
$FRA = -0.1 + 1.45 \times NDSI_{(MODIS)}$	Salomonson et al. (2006)	.23
$FRA = 0.18 + 0.37 \times NDSI_{(MODIS)} + 0.26 \times (NDSI_{(MODIS)})^2$	Barton et al. (2001)	.26

Frei, A., & Robinson, D.A., 1998, **Evaluation of Snow Extent and its Variability in Atmospheric Model Intercomparison Project**, Journal of Geophysical Research, 103, PP.8859° 8871.

Hall, D.K., Riggs, G.A., Salomonson, V.V., Digirolamo, N.E., & Bayr, K.J., 2002, **MODIS Snow-cover Products**, Remote Sensing of Environment, 83, PP. 181 – 19.

Hall, D.K., Riggs, G.A., & Salomonson, V.V., 1995, **Development of Methods for Mapping Global Snow Cover Using Moderate Resolution Imaging Spectroradiometer Data**, Remote Sensing of Environment, 54(2), PP. 127° 140.

Hall, D.K., Foster, J.L., Verbyla, D.L., Klein, A.G. & Benson, C.S., 1998, **Assessment of Snow-Cover Mapping Accuracy in a Variety of Vegetation-Cover Densities in Central Alaska**, Remote Sensing of Environment, 66, PP. 129° 137.

Jelokhani Niaraki, M., 2005, **Preparation of Snow Cover Map Using NOAA-AVHRR and GIS Techniques (Case study: Karaj dam watershed)**, Master Thesis, Tarbiat Modares University.

ترکیب تصاویر با قدرت تفکیک‌های بالا می‌تواند تأثیر شایانی در رسیدن به نتایج بهتر در تصاویری با قدرت تفکیک پایین مانند MODIS داشته باشد. با توجه به هزینه پایین و دسترسی آسان به داده‌های MODIS، این فرایند از نظر اقتصادی نیز توجیه‌پذیر است. استفاده از داده‌های زمینی هم‌زمان با گذر ماهواره می‌تواند دقت را بالا ببرد.

- منابع

Barton, J.S., Hall, D.K., & Riggs, G.A., 2001, **Remote Sensing of Fractional Snow Cover using Moderate Resolution Imaging Spectroradiometer (MODIS) Data**, Proceedings of the 57th Eastern Snow Conference, Syracuse, New York, USA, PP. 171° 183.

Dadashi khanaghah, S., 2009, **Study of Snow Cover in Basin of Karaj and Latian Using Image Processing Algorithm**, Master s thesis, Shahid Beheshti University.

Dozier, J., & Painter, Thomas, H., 2004, **Multispectral and Hyperspectral Remote Sensing of Alpine Snow Properties**, Annual Review of Earth and Planetary Sciences, 32, PP. 465 – 49.

Dozier, J., 1989, **Spectral Signature of Alpine Snow Cover from the Landsat Thematic Mapper**, Remote Sensing of Environment, 28, PP. 9 – 22

- Kelly, R.E., Chang, A.T., Tsang, L. & Foster, J.L., 2003, **A Prototype AMSR-E Global Snow Area and Snow Depth Algorithm**, IEEE Transactions on Geoscience and Remote Sensing, 41(2), PP. 230-242.
- Klein, A.G., Hall, D.K. & Riggs, G.A., 1998, **Improving Snow Cover Mapping in Forests Through the Use of a Canopy Reflectance Model**, Hydrological Processes 12, PP. 1723-1744.
- König, M., Winther, J.G. & Isaksson, E., 2001, **Measuring Snow and Glacier Ice Properties from Satellite**, Reviews of Geophysics, 39(1), PP. 1-27
- Koren, H., 2010, **Validation of the NLR Fractional Snow Cover Algorithm, Extended Report Including Topographic Radiometric Correction**, Norsk Regnesentral, Norwegian computing center.
- Kyle, H.L., Curran, R.J., Barnes, W.L. & Escoe, D., 1978, **A Cloud Physics Radiometer**, Third Conference on Atmospheric Radiation, American Meteorological Society, Davise, Calif., P. 107.
- Matkan, A.A., 2003, **Snow Depth Estimation in Iran, using: DMSP F11-SSM/I satellite data**, Journal of Geographical Science, 1.
- Mobasher, M.R., Shafizadeh Moghadam, H., & Shayan, S., 2011, **An Introduction to MODISI and SCMOD Methods for Correction of the MODIS Snow Assessment Algorithm**, Journal of the Indian Society of Remote Sensing, 4, PP. 674-685.
- Nolin, A., & Liang, S., 2000, **Progress in Bidirectional Reflectance Modeling and Applications for Surface Particulate Media: Snow and Soils**, Remote Sensing Reviews, 14, PP. 307-342.
- Rango, A., Walker, A.E. & Goodison, B.E., 2000, **Role of Snow and Ice**. In G. A. Schultz, & E. Engman (Eds.), Remote Sensing in Hydrology and Water Management, PP. 239-270.
- Robinson, D.A., Dewey, K.F., & Heim, R.R., 1993, **Global Snow Cover Monitoring: An Update**, Bulletin of the American Meteorological Society, 74(9), PP. 1689-1696.
- Salomonson, V.V., Appel, I., 2004, **Estimating Fractional Snow Cover from MODIS Using the Normalized Difference Snow Index**, Remote Sensing of Environment, 89, PP. 351-360.
- Salomonson, V.V., Appel, 2006, **Development of the Aqua MODIS NDSI Fractional Snow Cover Algorithm and Validation Results**, IEEE Transactions on Geoscience and Remote Sensing, 7.
- Shi, J., Dozier, J. & Rott, H., 1994, **Snow Mapping in Alpine Regions with Synthetic Aperture Radar**, IEEE Transactions on Geoscience and Remote Sensing, 32(1), PP. 152-158.
- Sirguey, P., Mathieu, R. & Arnaud, Y., 2009, **Subpixel Monitoring of the Seasonal Snow Cover with MODIS at 250 m Spatial Resolution in the Southern Alps of New Zealand: Methodology and Accuracy Assessment**, Remote Sensing of Environment, 113, PP. 160-181.

ارزیابی دقیق شاخص NDSI استخراج شده از تصاویر MODIS در مناطق دارای شیب متوسط

Taghavi Kish, S., 2005, **Determination of Snow Cover Using of MODIS Images and Investigation of Snowmelt Runoff Model Caused by Snow on it**, Master Thesis, Tehran University.

Xiao, X., Shen, Zh. & Qin, X., 2001, **Assessing the Potential of VEGETATION Sensor Data for Mapping Snow and Ice Cover: A Normalized Difference Snow and Ice Index**, International Journal of Remote Sensing, 13, PP. 2479° 2487.

Zhang, Y., Yan, S. & Lu, Y., 2010, **Snow Cover Monitoring Using MODIS Data in Liaoning Province, Northeastern China**, Remote Sensing, 2, PP. 777-793.

<http://modis-snow-ice.gsfc.nasa.gov/sug.pdf>

